薄鐵板壓延用チルドロールに發生する熱應力について

河 原 英 麿*

Thermal Stresses in 2 High Hot Rolls

By Hidemaro Kawahara Wakamatsu Works, Hitachi, Ltd.

Abstract

The hot rolls for sheet iron frequently get broken at the middle during rolling operation, the reason for which three kinds of stresses can be given; (1) casting stresses, (2) mechanical stresses attendant on rolling operation, (3) thermal stresses caused by temperature change during rolling operation. Of these three stresses, thermel stresses are the chief cause for breaking of rolls.

The thermal stresses are caused dy the inequality of temperature in various parts of rolls, and there are two periods in which thermal stresses mount to a high degree; one is when the roll temperature rises gradually during the several hours following the commencement of rolling operation and the other is when the roll radiate heat while operation is suspended on account of the abrupt giving out of electric power or other accidents.

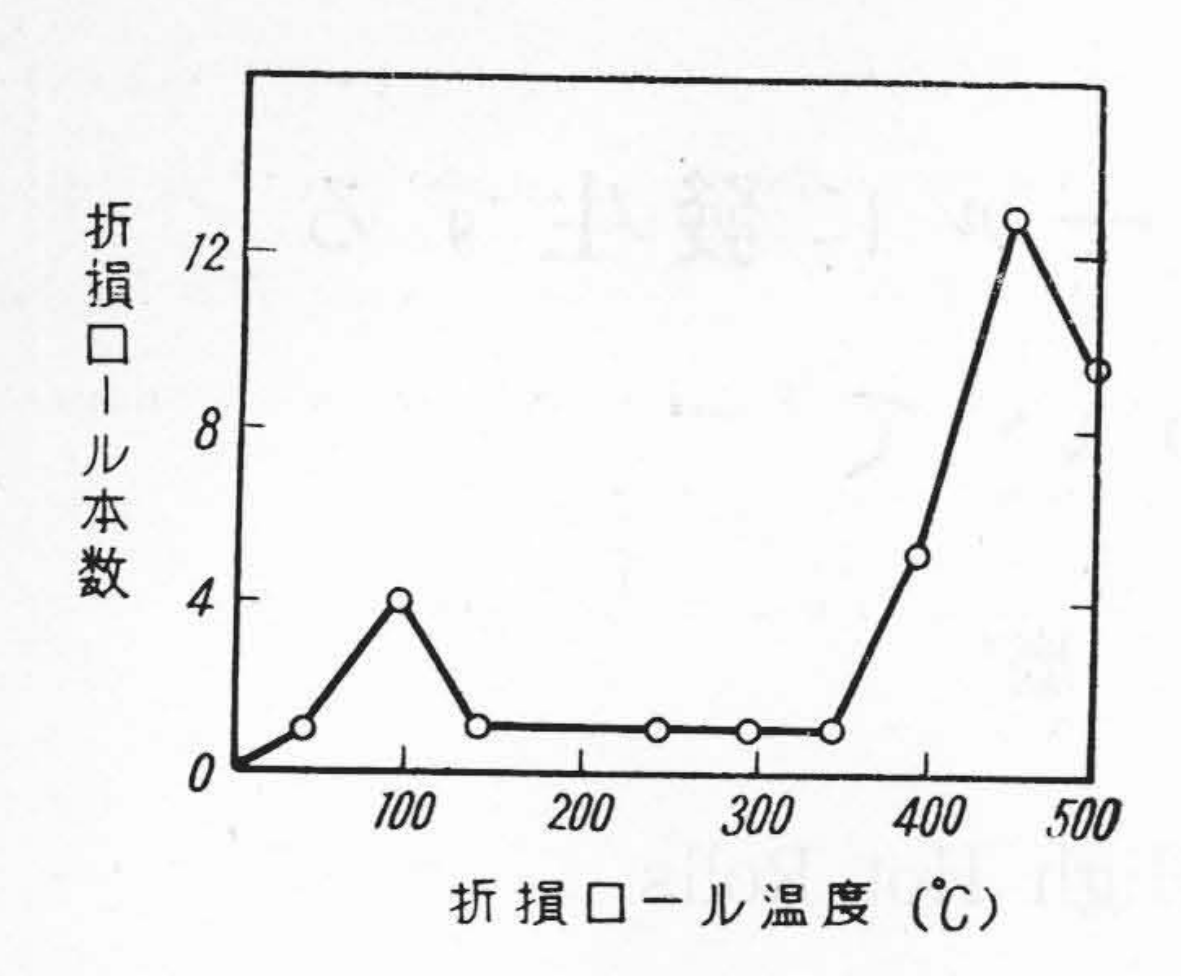
The writer tried to calculate the temperature disstribution and thermal stresses in the rolls under such conditions, and we could obtain the result that about 13 kg/mm² tensile stresses took place on the roll surface when roll was cooled from 450 °C and about 8 kg/mm² tensile stresses occured to the roll center when roll was heated from 150 °C under normal rolling operation.

By aid of these calculation, we could know the best way to treat rolls and most suitable chilled roll for reducing these stresses.

[I] 緒 言

薄鐵板壓延用チルドロールは壓延作業中約 500°C 前 後の高温度に達し、作業狀態によってかなりの温度變化 を行つている。故にロール各部の温度不均一に基づく熱應力を發生し、ロール折損の大きな原因をなしている事は折損原因を調査する事によって明らかに認める事が出來る。數十本の折損ロールについて其の折損温度を檢べると第1圖に示す如く、ロール温度上昇の激しい100℃附近と、ロール表面が急冷される機會の多い400~500℃

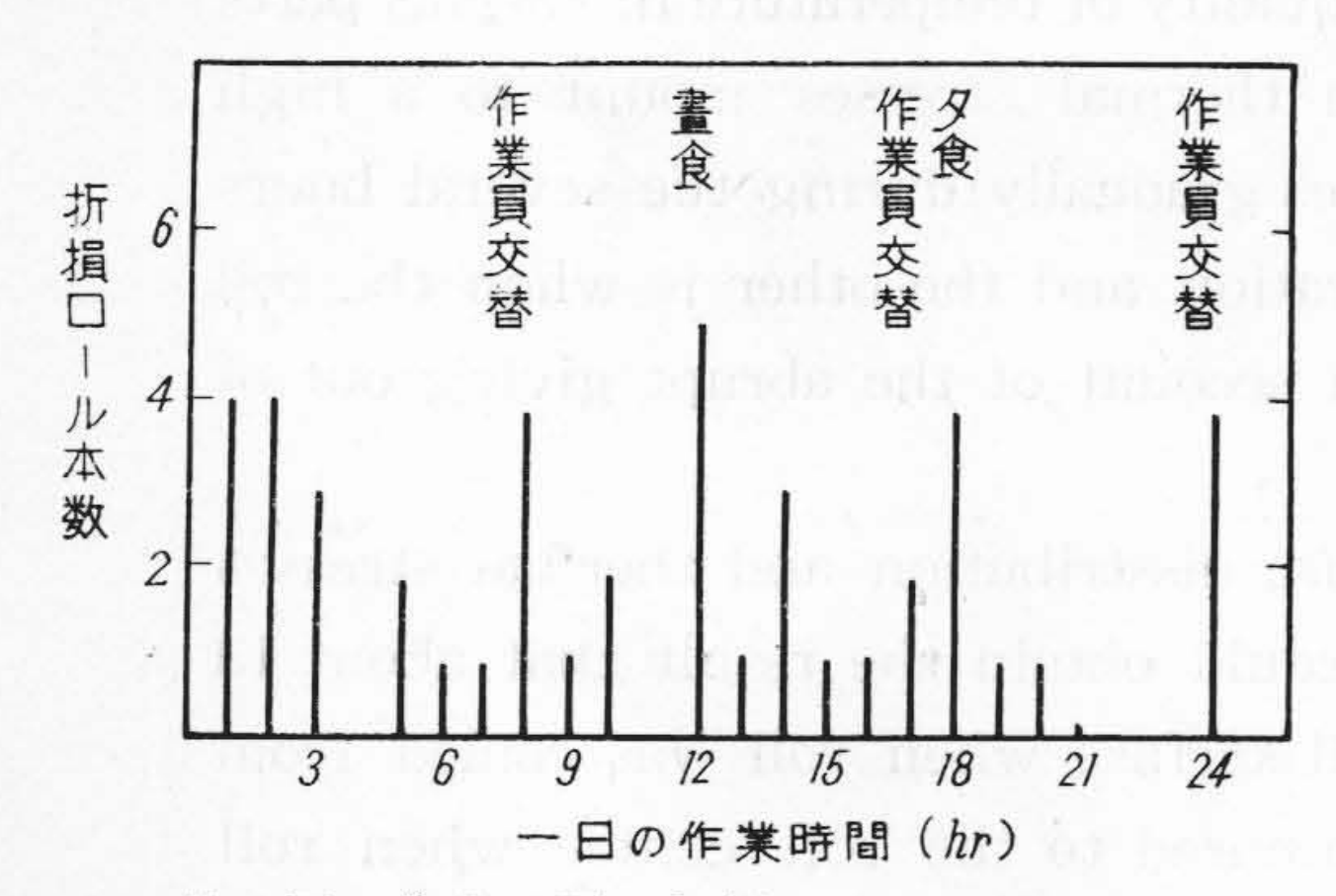
^{*} 日立製作所若松工場



第1圖 折損ロール本敷と其の溫度

Fig. 1 The Relation between Breaking Temperature and Number of Breaking Rolls.

の高温度に於いて大きな折損率を示している。又ロール 折損本數と折損時間との關係を求めると第2圖に示す如 く、作業員交替及び食事等によって作業が緩漫になりロ ールが冷却された場合に折損率が高くなっている。又停 電其の他故障等の為に一時作業を休止した直後は高折損 率を示す。



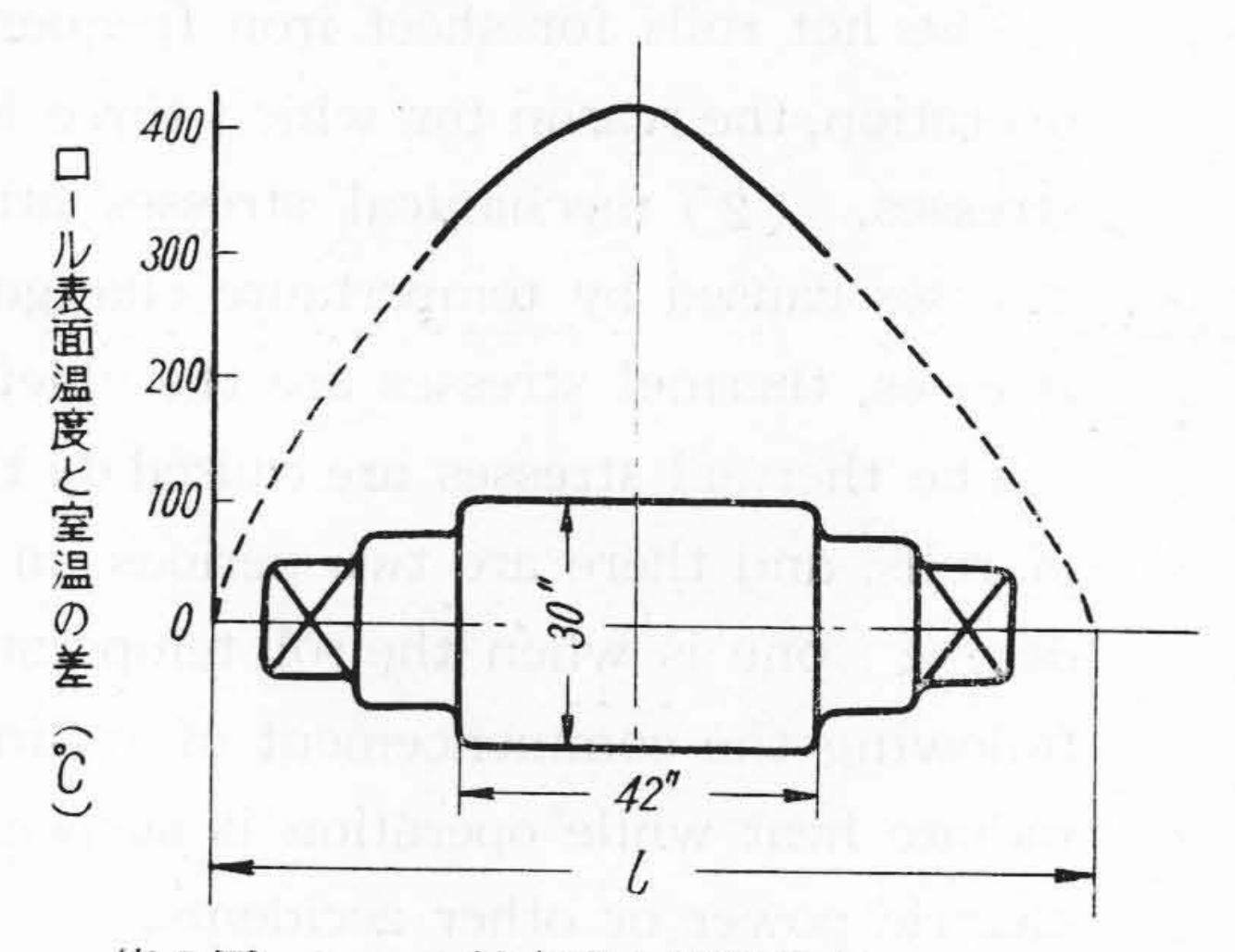
第2圖 作業時間と折損ロール本數

Fig. 2 The Relation between Operating time and Number of Breaking Rolls.

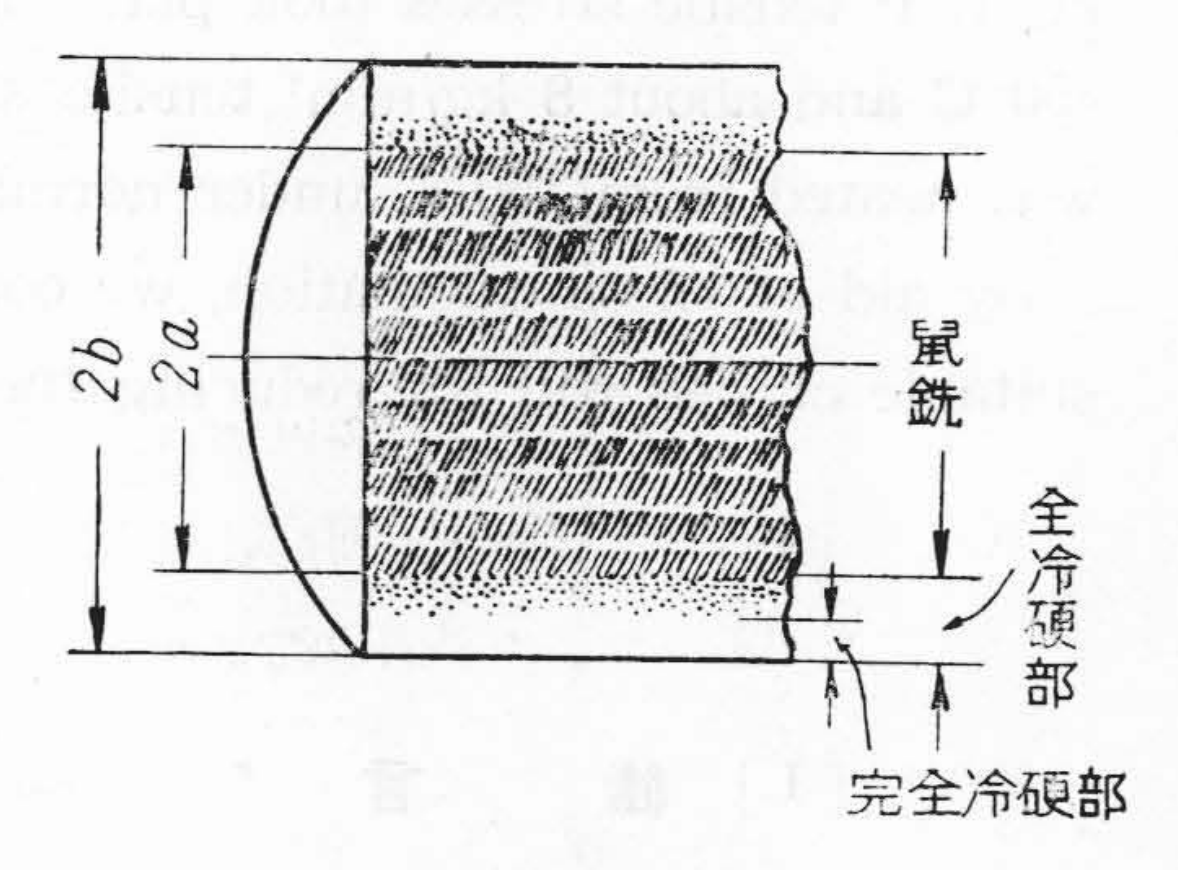
チルドロールに發生する熱應力について內藤氏の論文(1)が發表されており、其の大略は察知する事が出來るが、ロール表面冷硬部層の特性を半ば無視した假定の下に行われた簡單な計算であり、ロール成分構造等によって熱應力が如何に變るか、又壓延作業の優劣が折損に及ぼす影響を研究するには不便である。筆者は此の缺點を補い、冷硬層も考慮に入れて計算し、優秀なロール及び壓延作業法を決定する一助となす事が出來た。

[II] ロール冷却時の温度分布

長時間壓延作業を續けたロールは胴中央部に於いて、400~500 ℃ の高温度になり雨端首に近づくに從つて温度は低下し、第3.圖に示す如き軸方向の温度分布になっている。又半徑方向には殆んど温度の勾配は無いものと見做して差支ない狀態である。此の狀態にあるロールが作業を休止すると表面から熱が放散し、時間の經過と共に種々の温度分布を示す。チルドロールの中心部は熱傳導率高き最銑組織であり、外周は熱傳導不良なる白銑であり、且つ其の比重も異つている。故に第4圖に示す如くロール中心軸から半徑 α の點までは鼠銑、 α から b にまでを全冷硬部としてロールを二個の圓筒の組合せと考えて熱傳導微分方程式を解く事にする。



第3圖 ロール軸方向の温度分布 Fig. 3 Distribution of Temperature along Roll Axis.



第4圖 チルドロール総斷面 Fig. 4 Axial Section of Chilled Roll.

$$a>r>0\;\;;\;\;\;rac{\partial heta_1}{\partial t} \ = k_1 \Big(rac{\partial^2 heta_1}{\partial r^2} + rac{1}{r}\,rac{\partial heta_1}{\partial r} + rac{\partial^2 heta_1}{\partial z^2}\Big) \cdot \cdot \cdot \cdot \cdot \cdot (1).$$

$$b>r>a\;\;;\;\;\;rac{\partial heta_2}{\partial t} = k_2\Big(rac{\partial^2 heta_2}{\partial r^2} + rac{1}{r}rac{\partial heta_2}{\partial r} + rac{\partial^2 heta_2}{\partial z^2}\Big) \cdot \cdots (2)$$

初條件として第3圖に示す溫度分布を軸方向の距離の函數として表わし、

$$t = 0$$
; $\theta_1 = \theta_2 = f(z)$ (3)

此の曲線を延長し、 $\theta=0$ となる點を求め此の中の一點をロール軸方向の原點に取り、二點間の長さを假りにロール軸長さ l とすれば、

$$z=l$$
; $\theta_1=\theta_2=0\cdots\cdots(5)$

白銑層と鼠銑層の境界面では溫度相等しく、此の面を通る熱量は雨層相等しいから、

周邊條件としてロール表面から室内へ熱放散が行われる事を考え、

$$r=b$$
; $\frac{\partial \theta_2}{\partial r} + \frac{h}{K_2} \theta_2 = 0 \cdot \cdot \cdot \cdot \cdot \cdot \cdot \cdot (8)$

玆に θ ; ロール中の任意の

點の溫度と室溫の差。(℃)

t; 冷却開始後經過した時間 (hr)

r;ロール中心軸から

任意の點までの半徑 (m)

 $k ; K/C\rho$

K; ロール材料の熱傳導率 (kcal/m hr ℃)

C; ロール材料の比熱 (kcal/gr)

ρ; ロール材料の比重 (kg/m³)

サフイクス1; ロール中心鼠銑圓筒

サフイクス2; ロール外表白銑圓筒

$$h = \frac{\sigma' \left\{ \left(\frac{T}{100} \right)^4 - \left(\frac{T_0}{100} \right)^4 \right\}}{T - T_0}$$
 ; 熱放散係數

T; ロール表面の絶對温度 (°K)

To; 室温の絶對温度 (°K)

の: ロール表面からの熱輻射の係數

上式から明らかなように、h はロール表面温度の函數で

T の降下と共に減少する値であるが、内藤氏が行われたと同様な補正を行う事に依りあたかも常數の如く取扱つて計算の便を計つた。からる補正を行つて計算する事により得られるロール表面温度の降下率は測定の結果と非常に良く一致する事を知り得た。f(z) を $\sum_{m=1}^{\infty} C_m \sin \beta_m z$ なるフーリエ級數で表わし、上記諸條件を滿足する(1)、(2) 式の解を求めれば、

$$\theta_{1} = \sum_{n=1}^{n=\infty} \sum_{m=1}^{\infty} e^{-k_{1}(\alpha_{n}^{2} + \beta_{m}^{2})t} A_{n} U_{1}(\alpha_{n}r) C_{m} \sin \beta_{m}z$$

$$\theta_{2} = \sum_{n=1}^{\infty} \sum_{m=1}^{\infty} e^{-k_{1}(\alpha_{n}^{2} + \beta_{m}^{2})t} A_{n} U_{2}(\mu \alpha_{n}r) C_{m} \sin \beta_{m}z$$

玆に

$$\begin{split} U_{1}(\alpha_{n}r) = & J_{0}(\alpha_{n}r) \left[J_{0}(\mu \alpha_{n}a) Y_{1}(\mu \alpha_{n}a) \right. \\ & \left. - J_{1}(\mu \alpha_{n}a) Y_{0}(\mu \alpha_{n}a) \right] \\ U_{2}(\mu \alpha_{n}r) = & J_{0}(\mu \alpha_{n}r) \left[J_{0}(\alpha_{n}a) Y_{1}(\mu \alpha_{n}a) \right. \\ & \left. - \sigma J_{1}(\mu \alpha_{n}a) Y_{0}(\mu \alpha_{n}a) \right] \\ & \left. + Y_{0}(\mu \alpha_{n}r) \right] \sigma J_{0}(\mu \alpha_{n}a) J_{1}(\alpha_{n}a) \\ & \left. - J_{0}(\alpha_{n}a) J_{1}(\mu \alpha_{n}a) \right] \end{split}$$

 α_n は次の方程式を滿足せしめる α の第 n 番目の正根である。

$$\begin{split} [J_{0}(\alpha a)Y_{1}(\mu \alpha a) - \sigma J_{1}(\alpha a)Y_{0}(\mu \alpha a)] \\ & [\mu \alpha J_{1}(\mu \alpha b) - \frac{h}{K_{2}}J_{0}(\mu \alpha b)] \\ + [\sigma J_{0}(\mu \alpha a)J_{1}(\alpha a) - J_{0}(\alpha a)J_{1}(\mu \alpha a)] \\ & [\mu aY_{1}(\mu \alpha b) - \frac{h}{K_{2}}Y_{0}(\mu \alpha b)] = 0 \\ \mu = \sqrt{k_{1}/k_{2}} \ \ \sigma = K_{1}/\mu K_{2} \ \ \beta = \frac{m\pi}{l} \\ m = 1, \ 2, \ 3, \ \cdots, \ m, \ \cdots \end{split}$$

$$A_{n} = rac{rac{2}{K_{1}}hb\left[U_{2}
ight]_{r=b}}{rac{b^{2}}{\sigma\mu}\left[\left(rac{h^{2}}{K_{2}^{2}} + lpha_{n}^{2}\mu^{2}
ight)U_{2}^{2}
ight]_{r=b} + lpha^{2} imes } \left[\left(1 - \sigma\mu
ight)\left(rac{dU_{1}}{dr}
ight)^{2} + lpha_{n}^{2}\left(1 - rac{\mu}{\sigma}
ight)U_{1}^{2}
ight]_{r=a}}$$

此の結果に適當な數値を代入して計算を行う。

a=0.35 m b=0.33 m ロール直徑=0.76 m

l = 2.44 m $C_1 = C_2 = 0.13 \text{ kcal/kg} \,^{\circ}\text{C}$

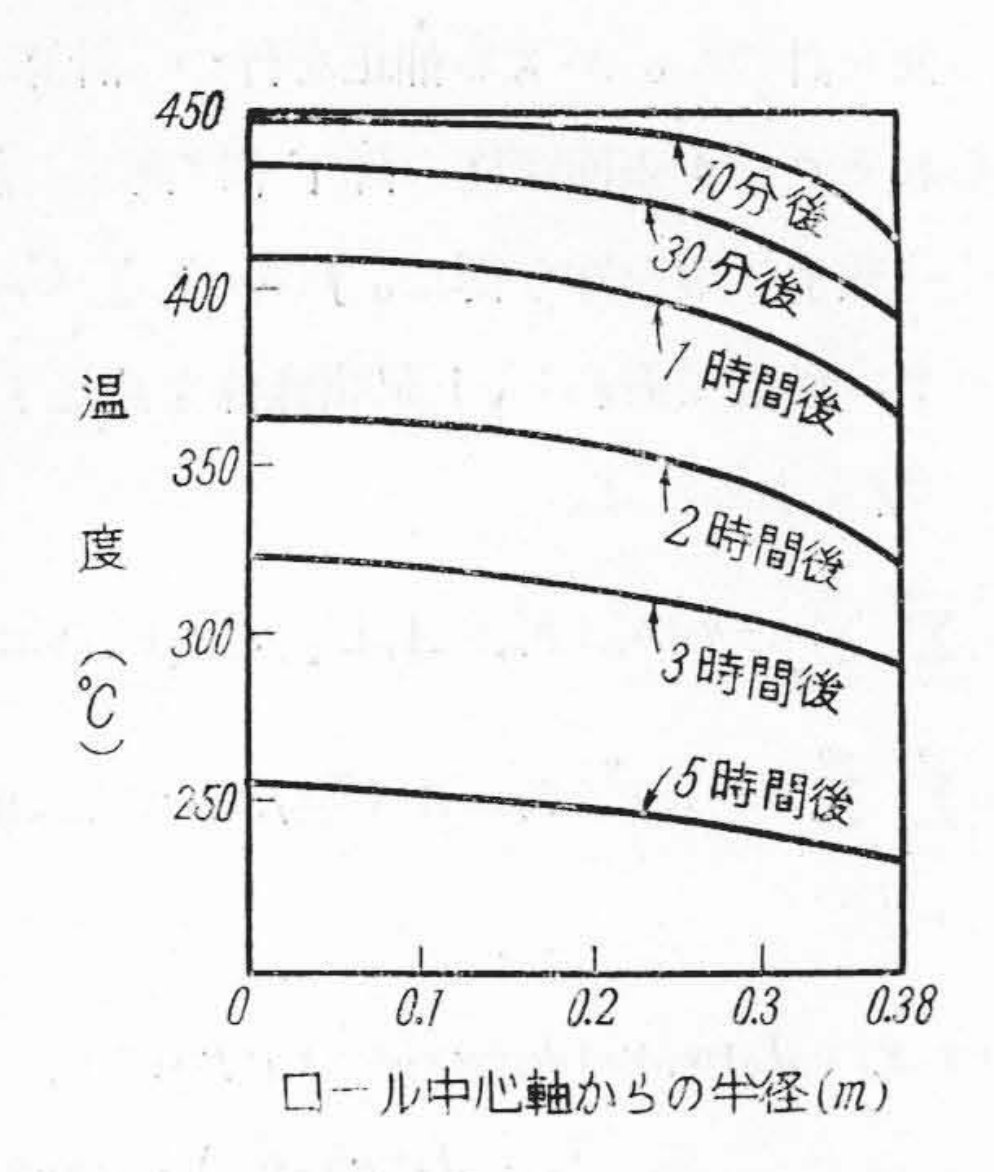
 $\rho_1 = 7.3 \times 10^3 \text{ kg/m}^3$ $\rho_2 = 7.62 \times 10^3 \text{ kg/m}^3$

 $K_1 = 30 \text{ kcal/m h} \,^{\circ}\text{C}$ $K_2 = 17.8 \text{ kcal/m h} \,^{\circ}\text{C}$

但し完全白銑部のみの熱傳導率は

 $K_2'=0.04 \text{ cal/cmsec }^{\circ}\text{C}$

 $\theta_{t=0} = f(z) = 688.1 z - 288 z^2 \theta$; °C z; m $\sigma' = 4.0 \text{ kcal/m}^2 \text{ hr}$



ロール半徑方向の温度分布 第5圖 Fig. 5 Distribution of Temperature along Roll Radius.

以上の數値は實驗及び實測を行つた結果得られた値で ある。ロール胴中央部に於ける半徑方向の溫度分布と冷 却時間の關係を求め第5圖に示す。又數値を多少變更し て計算する事によりロールの最初の温度並びに室温高低 及びロール構造、材料等により温度分布の變化する狀況 を知る事が出來る。

熱上げ作業中の温度分布

薄板ロールは作業に取りか x る前に 100~200°C に豫 熱するを常とする。かくして始め均一に加熱されたロー ルも壓延作業に依り次第に表面から温度が上昇して行 く。此の場合ロール胴中央部半徑方向の溫度分布を求め る爲めロールを無限長とみなし、前節と同様にロールを 二層に分けて微分方程式を解く。

$$a>r>0$$
; $\frac{\partial \theta_1}{\partial t}=k_1\left(\frac{\partial^2 \theta_1}{\partial r^2}+\frac{1}{r}\frac{\partial \theta_1}{\partial r}\right)\cdots(1)$

$$b>r>a\;; \quad rac{\partial heta_2}{\partial t}=k_2\!\!\left(rac{\partial^2 heta_2}{\partial r^2}+rac{1}{r}rac{\partial heta_2}{\partial r}
ight)\;\cdots (2\;)$$

初條件として

周邊條件として、

$$r=a$$
; $K_1 \frac{\partial \theta_1}{\partial r} = K_2 \frac{\partial \theta_2}{\partial r} \cdots \cdots (4)$
 $\theta_1 = \theta_2 \cdots \cdots (5)$

θ; ロール中の任意の點の溫度 数に

 θ_0 ; ロールの豫熱温度

(6)の條件はロール表面溫度と作業時間の關係を示すも ので、實測の結果得られる。以上の條件の下に Duhamel の定理を用いて解を求める事が出來るが、實際の數 値計算に於て級數の收斂が悪い爲(6)の條件を多少變 更して、

$$r=b$$
; $\frac{\partial \theta_2}{\partial r}$ $+C\theta_2=0\cdots\cdots(6)'$

玆に C はロール表面の受熱係數

而して (1)~(5) 式及び (6) 式中の θ を改ためて 次の如く定義する。

 $\theta = \oplus_k - \oplus$ 囲 ; ロール中の任意の點の温度

 $\theta_0 = \mathbb{H}_k - \mathbb{H}_0$ \mathbb{H}_0 ; ロールの豫熱温度

囲は;後に決定する或る温度

此處で田k及び Cの値を適當に選定して計算の結果得 られるロール表面温度の上昇率曲線を實測の結果得られ た(6)式に示す曲線と出來るだけ一致せしめる樣にす れば、解の唯一性から(6)の條件を用いて計算した結 果と殆んど一致する筈である。方程式の解を示せば、

$$a>r>0$$
 ; $e\theta=\sum_{n=1}^{\infty}e^{-k_1a_n^2t}\,A_n\,U_1((\alpha_nr))$

$$b>r>a$$
 ; $heta_2=\sum\limits_{n=1}^{\infty}e^{-k_1lpha_n^2t}\,A_n\,U_2(\mulpha_n r)$

玆に $U_1(\alpha_n r)$, $U_2(\mu x_n r)$, μ , σ は夫々 [II] 節に於い て述べた値と同一であり、 α_n は次式を滿足する α の第 n 番目の正根である。

$$\begin{split} \left[\sigma J_1(\alpha a)\,Y_0(\mu\alpha a) - J_0(\alpha a)\,Y_1(\mu\alpha a)\,\right] \\ \left[\mu\alpha J_1(\mu\alpha b) - CJ_0(\mu\alpha b)\,\right] \end{split}$$

 $+\left[\boldsymbol{J}_{0}(\alpha\boldsymbol{a})\boldsymbol{J}_{1}(\mu\alpha\boldsymbol{a})-\boldsymbol{\sigma}\boldsymbol{J}_{0}(\mu\boldsymbol{\alpha}\boldsymbol{a})\boldsymbol{J}_{1}(\alpha\boldsymbol{a})\right]$ $[\mu x Y_1(\mu x b) - CY_0(\mu x b)] = 0$

$$A_n = rac{2 rac{C}{\sigma \mu} b \lceil U_2
brack r_{=b}}{rac{b^2}{\sigma \mu} \left[(C^2 + lpha^n_2 \mu^2) U_2^2
brack r_{=b} + a^2 \left[(1 - \sigma \mu) + \left(rac{dU_1}{dr}
ight)^2 + lpha_2^n (1 - rac{\mu}{\sigma}) U_1^2
ight]_{r=a}}$$

數値を代入して計算するに當り,

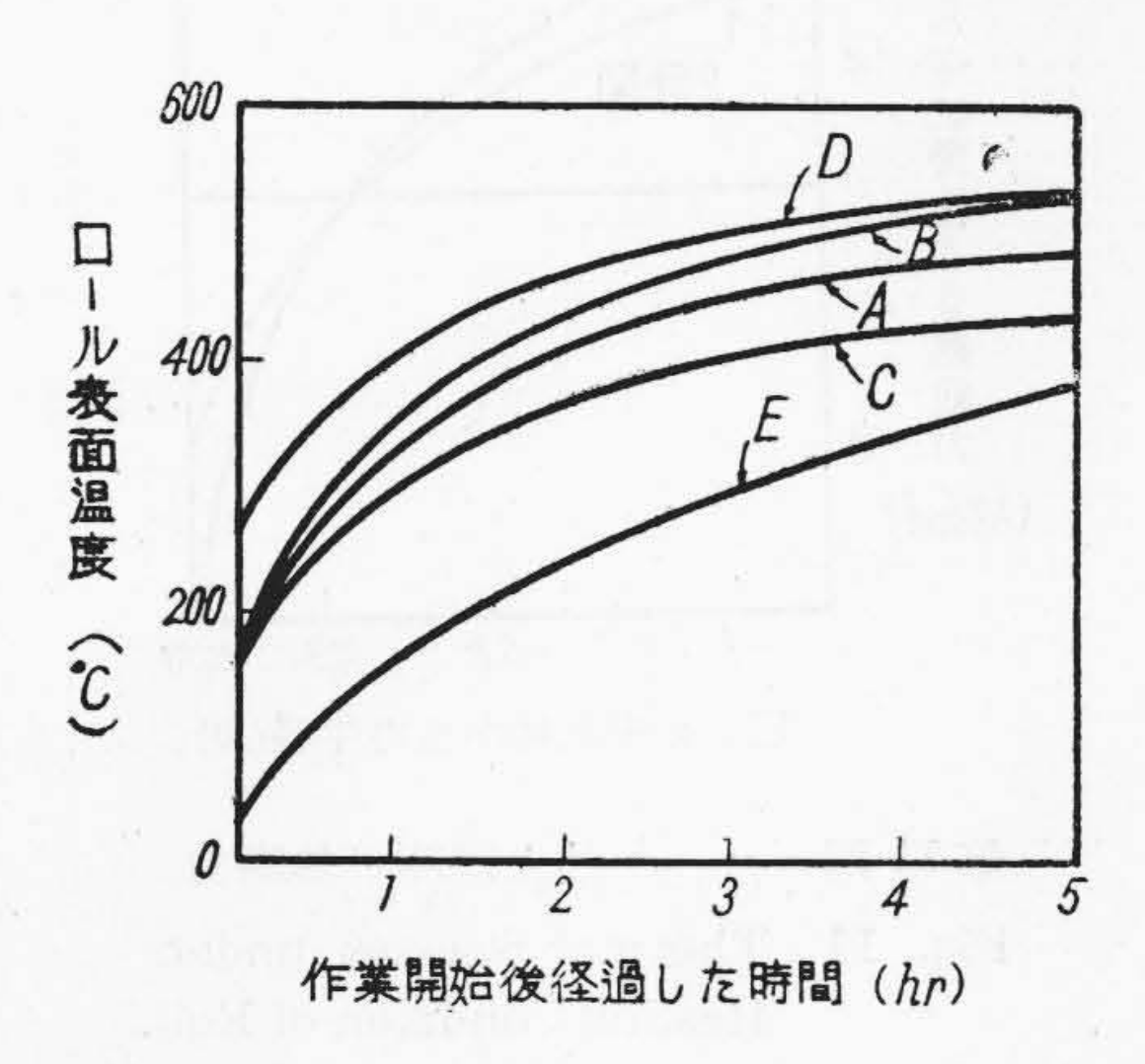
$$\text{(H)}_0 = 150 \, ^{\circ}\text{C} \quad C = 2.0 \, \frac{1}{\text{m}}$$
 $\text{(H)}_k = 680 \, ^{\circ}\text{C}$ $a = 0.35 \, \text{m} \quad b = 0.38 \, \text{m}$ $C_1 = C_2 = 0.13 \, \text{kcal/kg}$

 $K_1 = 30 \text{ kcal/m h }^{\circ}\text{C}$

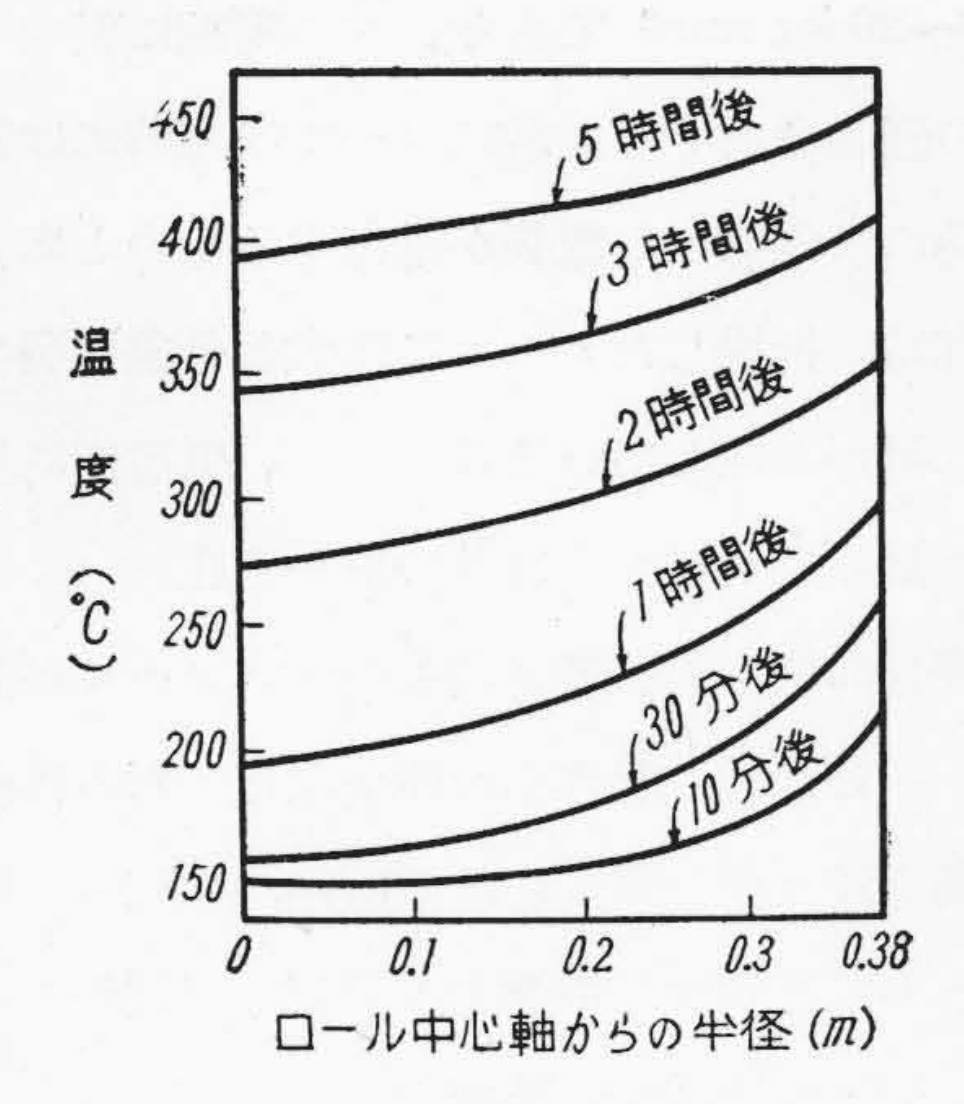
 $K_2=17.8$ kcal/m h °C

 $\rho_1 = 7.3 \times 10^3 \text{ kg/m}^3$

 $\rho_2 = 7.62 \times 10^3 \text{ kg/m}^3$



第6圖 ロール表面温度上昇速度
Fig. 6 Increasing Velocity of Roll Surface
Temperature.



第7圖 ロール半徑方向の温度分布
Fig. 7 Distribution of Temperature along
Roll Radius.

以上の如く C 及び 函 を選定すれば、ロールの表面溫度上昇率は大體に於て實測結果として得られた第1圖曲線 A と一致する。ロール半徑方向の溫度分布を第7圖に示す。又C の値を多少變更する事により熱上げ速度緩急の影響を知る事が出來、 函 の變更により豫熱溫度の影響を求め得る。又其の他ロール構造及び材料の影響等も檢べる事が出來る。

[VI] ロール中に發生する熱應力

熱應力を計算するに先立ち常温に於てロール中には初 應力はないと假定する。若し存在するならば、其の代數 和を求めれば合成應力を知り得る。

等方性無限圓筒に於ける軸方向の熱應力は、

$$\sigma_z = 2 G \left(H - \frac{m+1}{m-1} \alpha \theta \right) \cdots (1)$$

玆に m; ポアソン數

α; 材料の熱膨脹係數

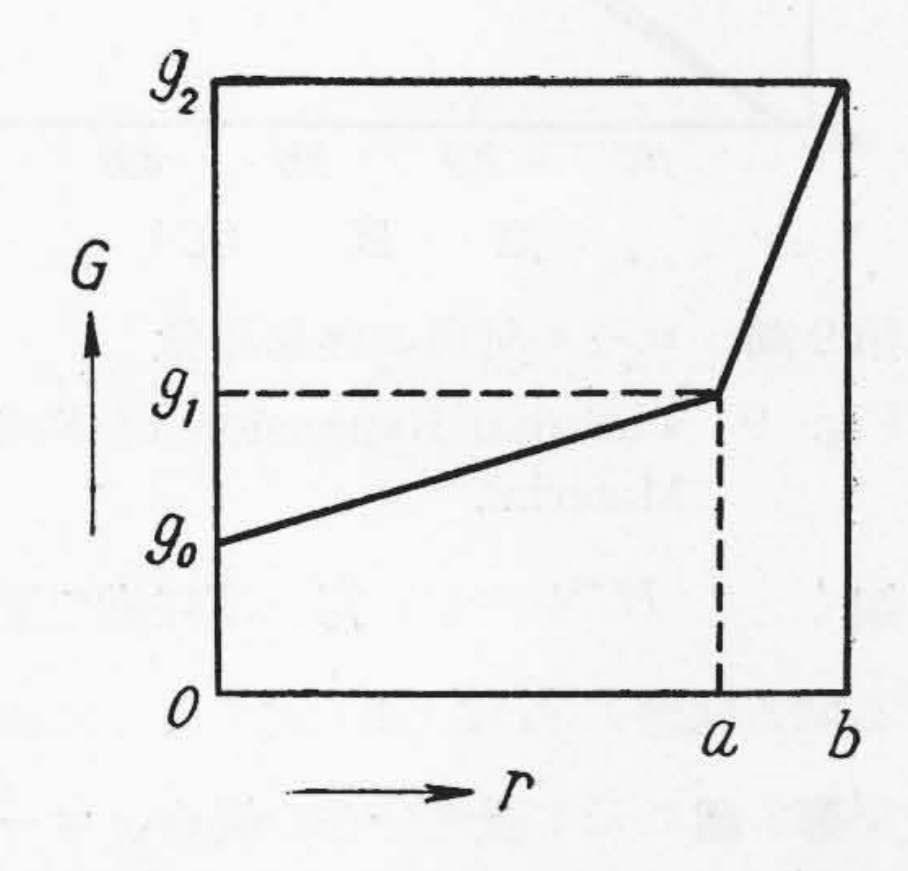
θ; 任意の點の溫度

H; 後に決定する常數

Hを決定する條件としては圓筒橫斷面に働く軸方向の應力は橫斷面全體として均合を保つ事。即ち、

$$\int_{A} \sigma_{z} r \, dr = 0 \qquad \therefore \int_{A} G\left(H - \frac{m+1}{m-1}\alpha \theta\right) r dr = 0$$

然るに G 及び α はロール中心部から表面に至る間にかなりの變化があり、G の變化狀況を第8 圖に示す如きものとすれば、



第8圖 彈性係數の半徑方向に於ける變化狀況 Fig. 8 Variation of Young's Modulus along Roll Radius.

$$a>r>0$$
; $G=\varepsilon r+\omega$

$$b>r>a$$
; $G=\zeta r+\eta$

但し

$$\omega = g_0$$
 $\qquad \qquad \varepsilon = \frac{g_1 - g_0}{a}$ $\qquad \qquad \zeta = \frac{g_1 - g_2}{a - b}$ $\qquad \qquad \eta = \frac{ag_2 - bg_1}{a - b}$

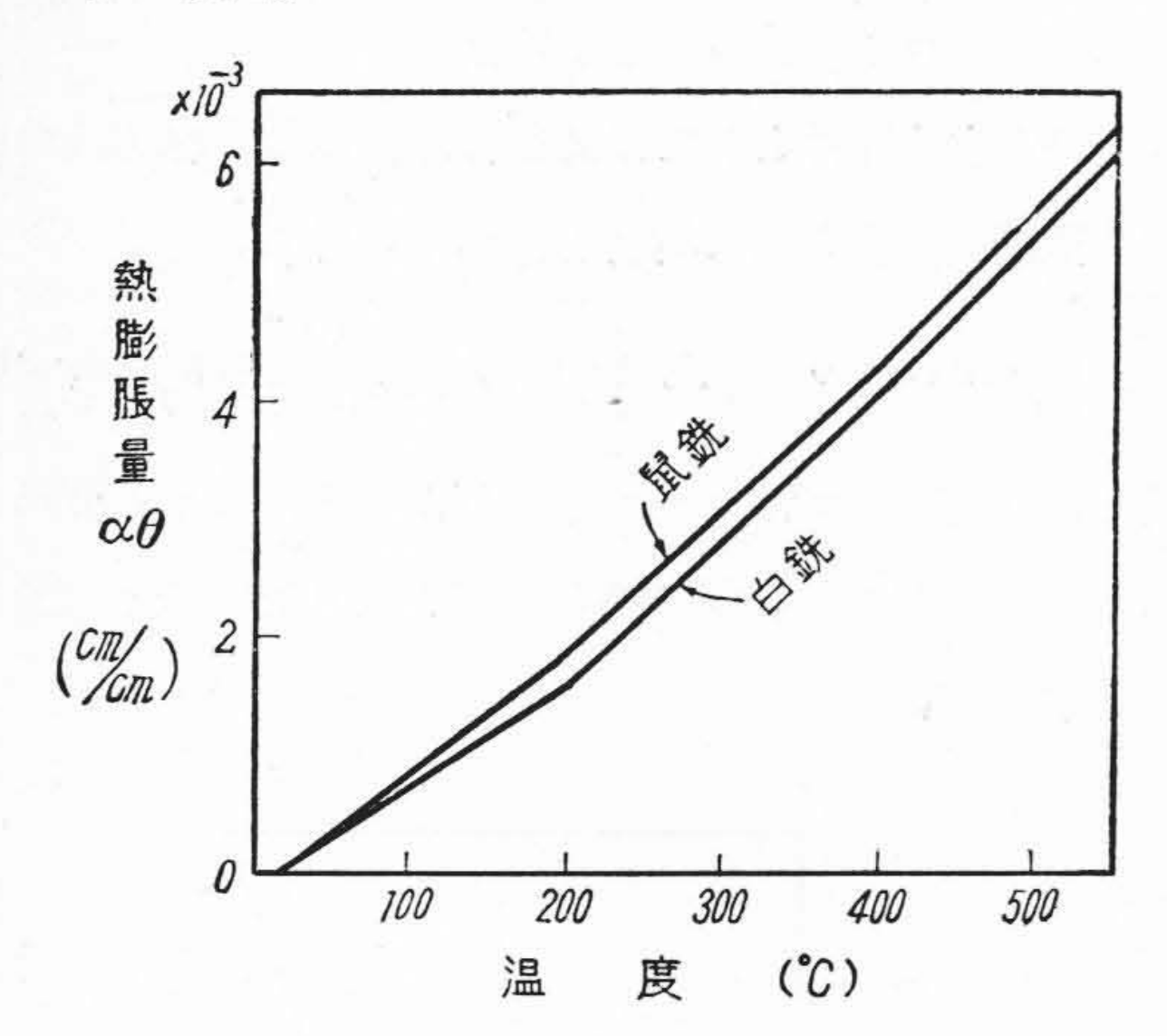
賞驗の結果gの値としてはは、

 $g_0 = 0.3 \times 10^4 \text{ kg/mm}^2$, $g_1 = 1.0 \times 10^4 \text{ kg/mm}^2$ $g_2 = 1.6 \times 10^4 \text{ kg/mm}^2$

:.
$$H = \frac{2\frac{m+1}{m-1} \left\{ \omega \int_{0}^{a} \alpha \theta \, r \, dr + \eta \int_{a}^{b} \alpha \theta \, r \, dr + \frac{2}{m-1} \right\}}{\omega r_{a}^{2} + \eta (r_{b}^{2} - r_{a}^{2}) + \frac{2}{3} \varepsilon r_{a}^{3}}$$

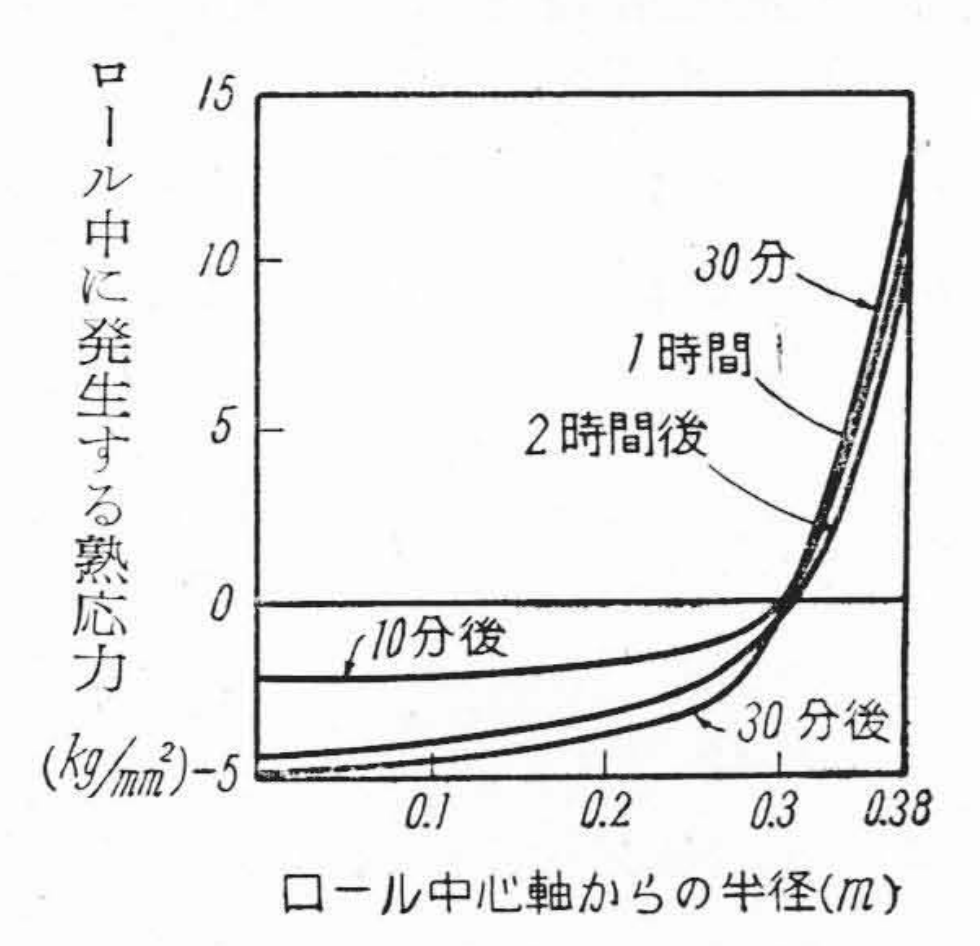
$$rac{arepsilon \int_{0}^{a} lpha heta \, r^2 \, dr + \zeta \int_{a}^{b} lpha heta \, r^2 \, dr \Big\}}{+rac{2}{3} \, \zeta (r_o{}^3 - r_a{}^3)}$$

 α は θ 及び r の函數であるから $\int \alpha \theta \, r \, dr$ 及び $\int \alpha \theta \, r^2$ dr の 値は r の 値は r の 温度 分布並びに r の 一 水材料 の 熱膨脹量 實測結果 (第9 圖) から 圖式的に 積分して 求める事にした。



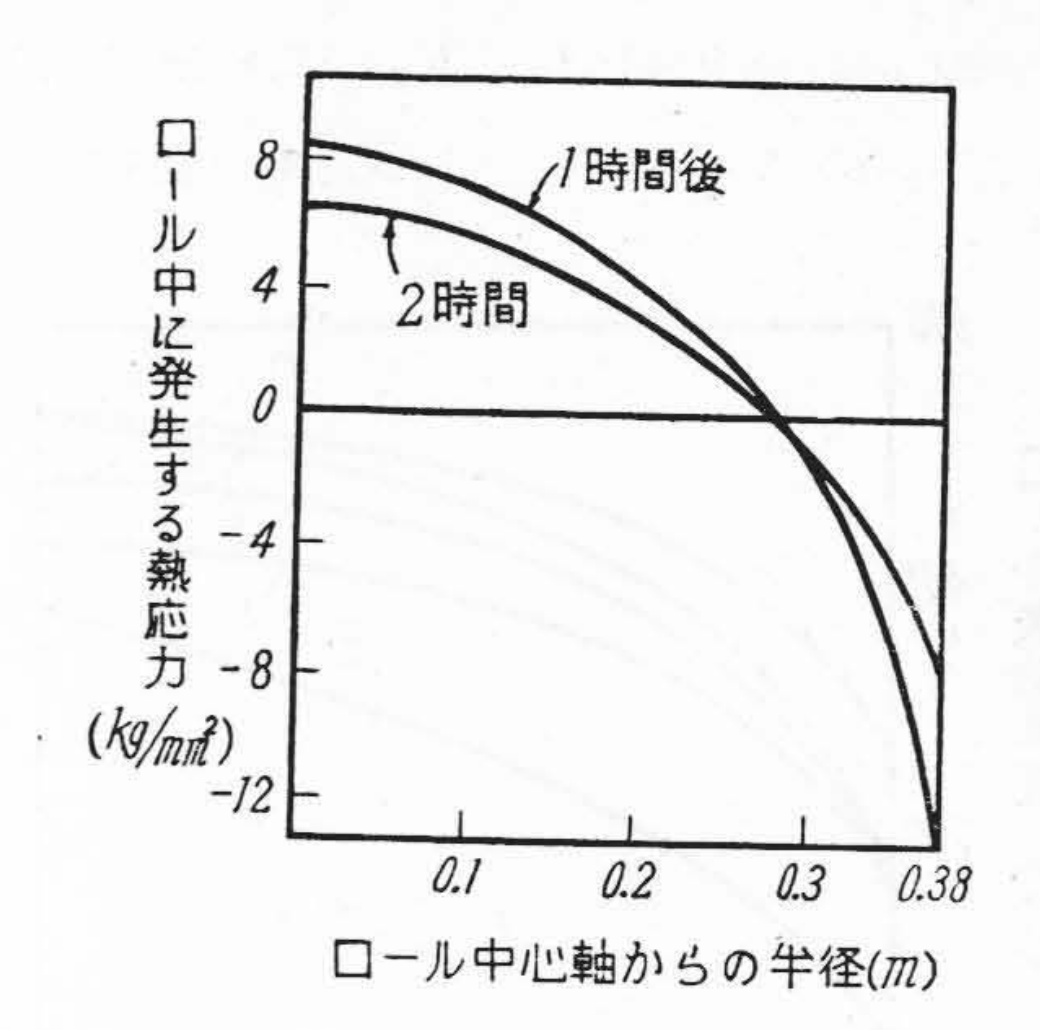
第9圖 ロール材料の熱膨脹量
Fig. 9 Thermal Expansion of Roll
Material.

以上の如くして H を決定し得れば任意の溫度分布狀態に於ける軸方向應力 のに (1)式によって求め得る。 第5 圖及び第7 圖に示す溫度分布の場合、ロール中に發生している軸方向應力を第10 圖及び第11 圖に示す。



第10圖 ロール冷却時の熱應力
Fig. 10 Thermal Stresses under
Cooling Condition of Roll.

ロール冷却時には表面に引張、內部に壓縮應力を發生 し、**熱**上げ時には其の逆の應力狀態を發生する。



第11圖 ロール熱上げ時の熱應力
Fig. 11 Thermal Stresses under
Heating Condition of Roll.

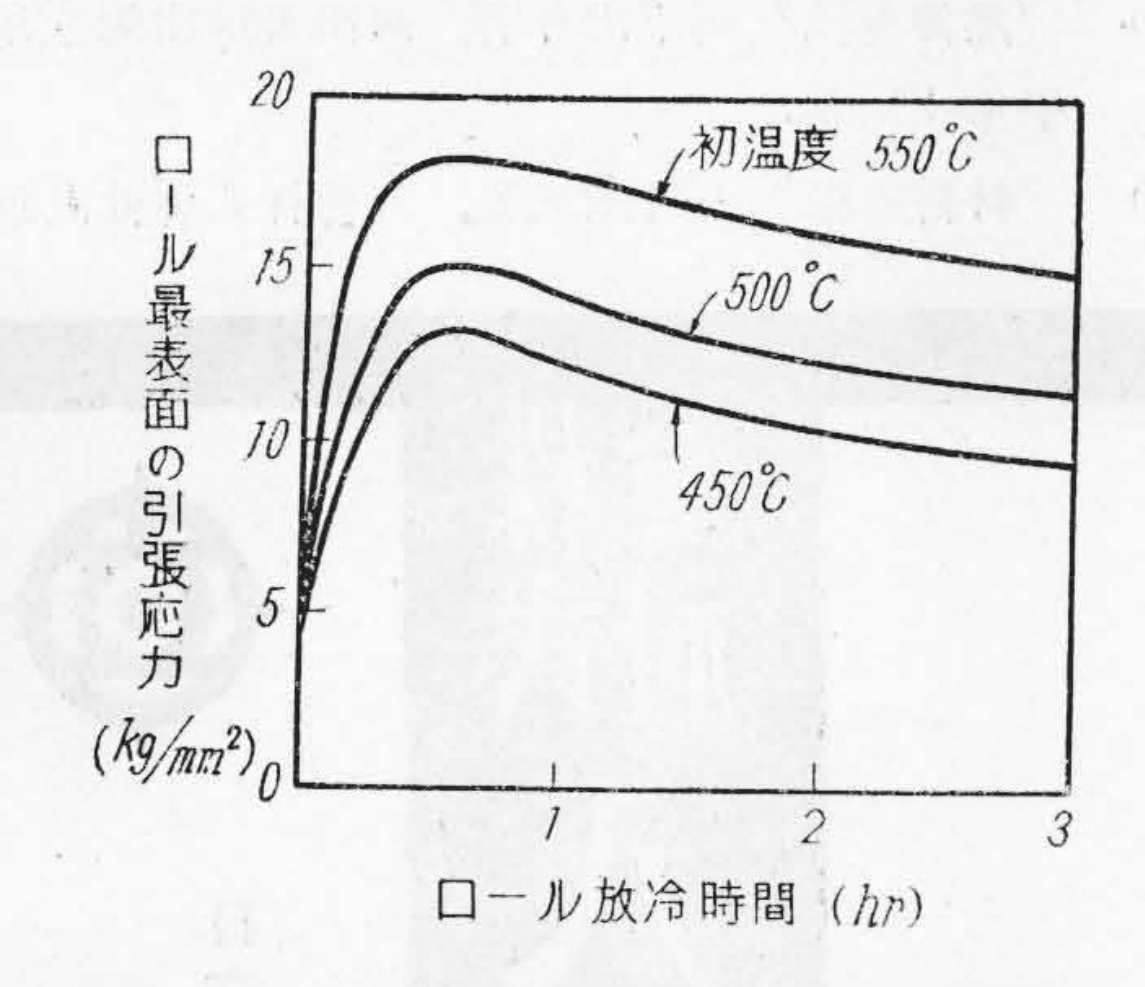
實測の結果ロール表面白銑部は 400 ℃ 前後に於て 20 ~25 kg/mm² の抗張力を有し、鼠銑部は 20~300 ℃に於て 10~20 kg/mm² であり、共に壓縮に對しては約 3 ~4 倍の强さを有する。故にロール冷却時には表面から熱上げ時には内部から龜裂が進行するものと考え得る。事實冷却時に折損したロールには大部分龜裂發生のため酸化した層が存在しているのに反し、低溫度に於て熱上げ中に折損したロールには此の層が存在しない。結局此等の熱變化に依る引張應力發生の少いロールが熱變に對して强く、且つ此の熱應力を僅少ならしむる作業を優秀なる壓延方法と言い得る。此の觀點から種々の場合についてロールに發生する熱應力を計算して比較を試みる。

(i) ロール放冷時の熱應力

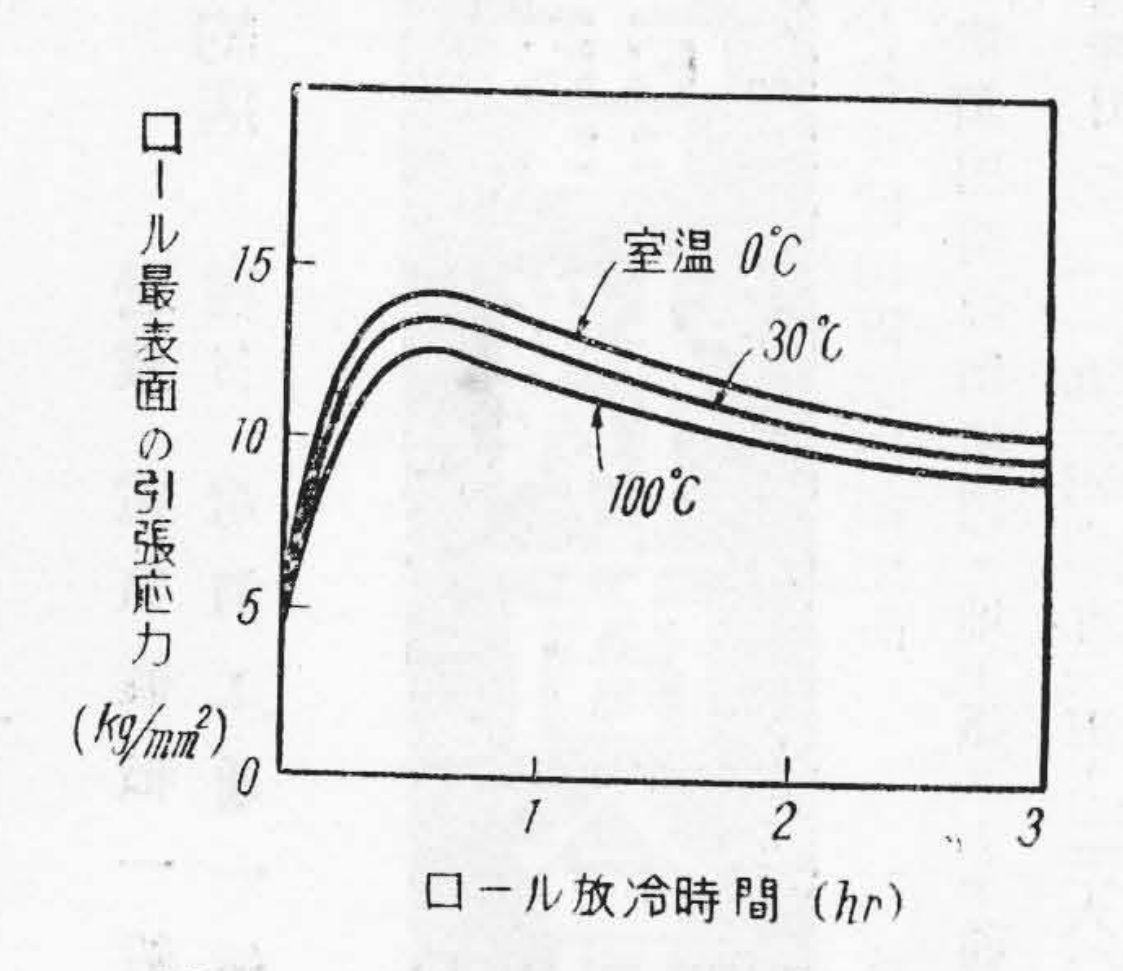
前に述べた如く此の場合にはロール表面に發生する引 張應力が龜裂發生の原因をなすものであるから、最表面 に發生する熱應力と冷却時間との關係を求め、ロールの 初温度が夫々 550,500 及び 450 ℃ で室温 30 ℃ の場 合について圖示すれば第12 圖に示す如く放冷後約30分 で最大の應力を發生しロールの初温度が高い程大きい。 又ロール初温度を 450 ℃ とし、室温を夫々 0,30 及び 100 ℃ として計算すると第13 圖に示す如く室温の低い 程發生する應力は大きいが、此の程度の室温の差は大し た影響を有しない。

(ii) ロール熱上げ時の熱應力

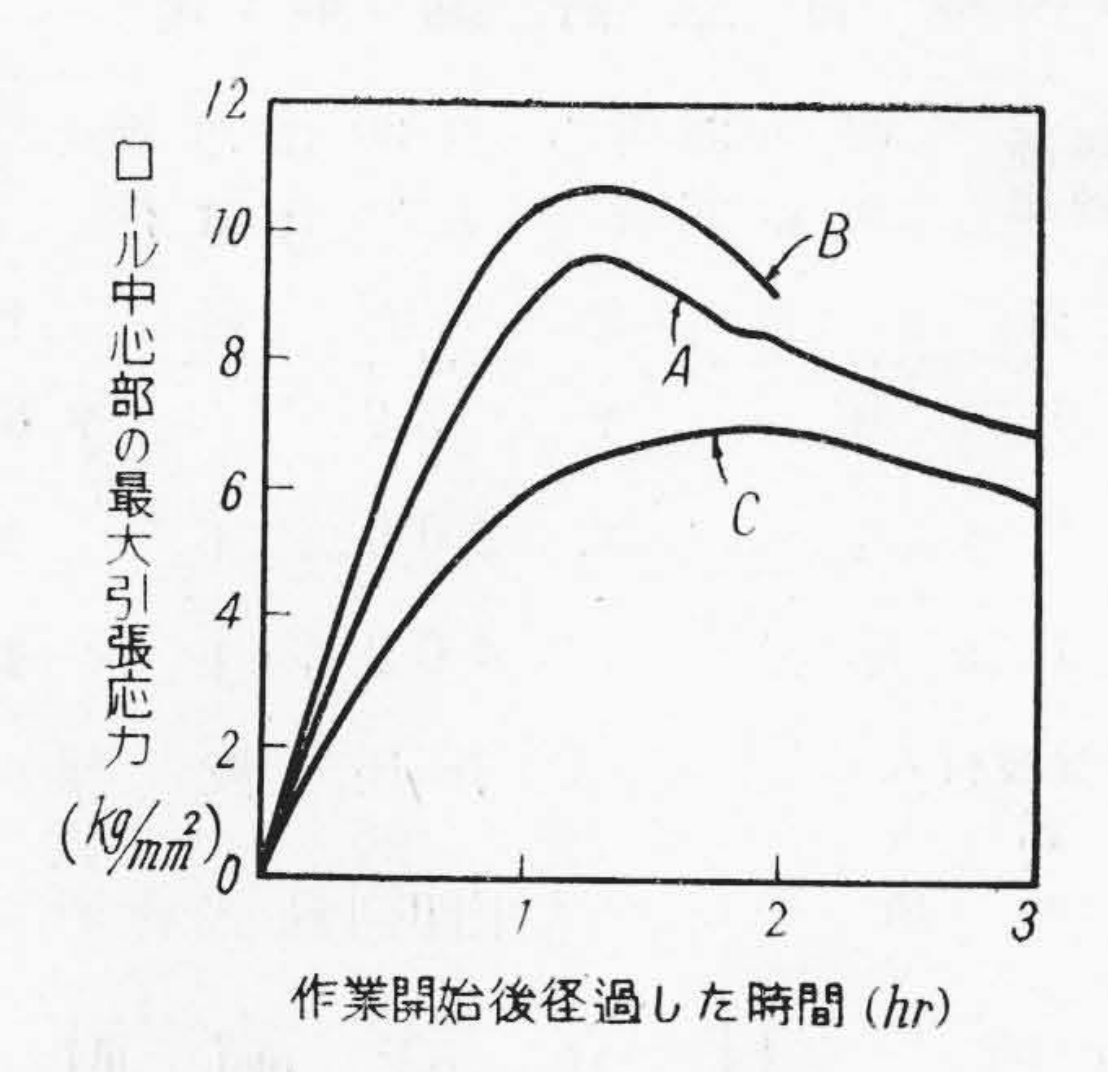
ロール中心部に發生する熱應力と作業開始後經過した



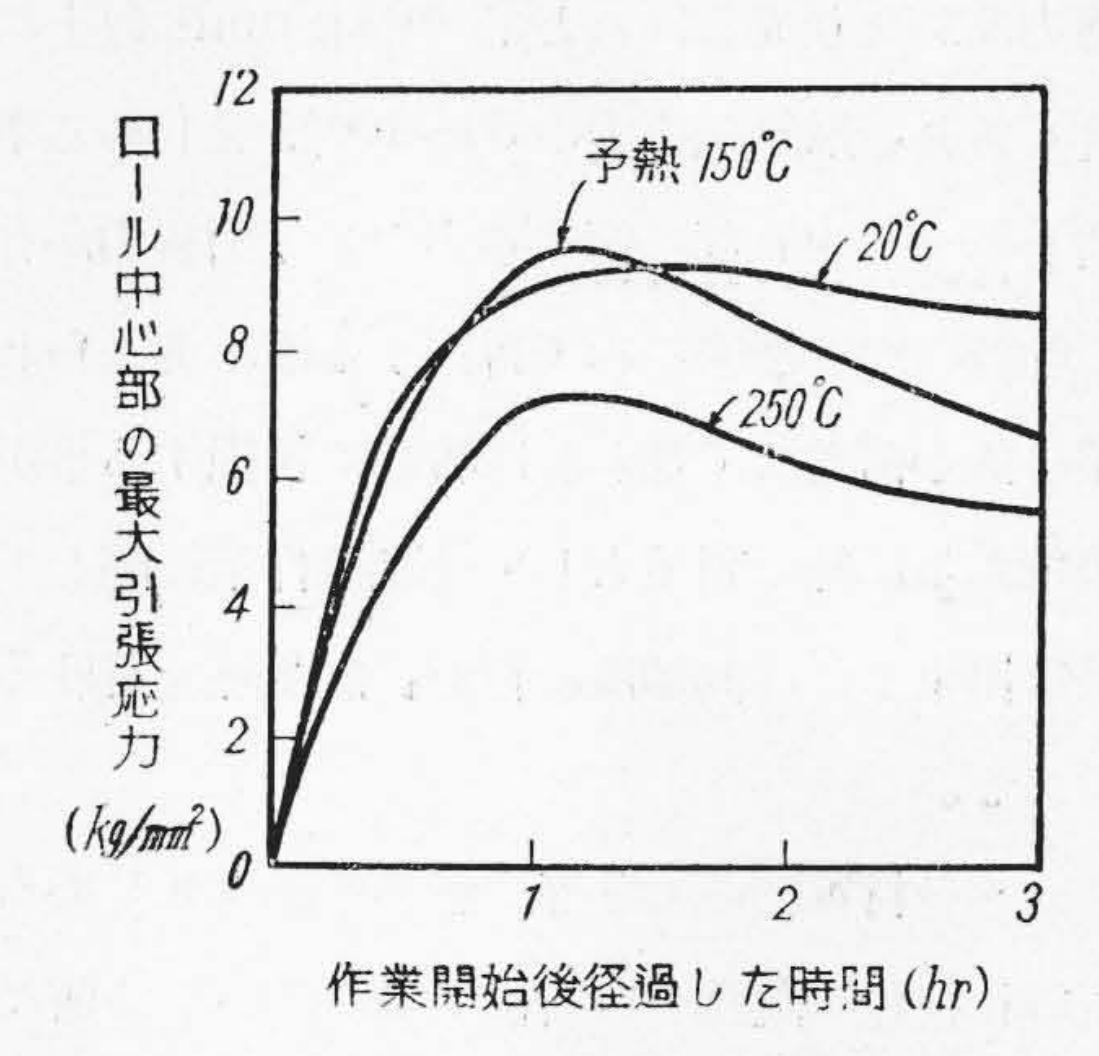
第12圖 ロール初温度と最大引張應力の關係
Fig. 12 The Relalion between Initial Roll
Temperature and Maximum Tensile Stresses.



第13圖 室温と最大引張應力の關係
Fig. 13 The Relation between Room
Temperature and Maximum
Tensile Stresses.



第14圖 熱上げ速度と最大引張應力の關係 Fig. 14 The Relation between Heating Speed of Roll and Maximum Tensile Stresses.



第15 圖 豫熱溫度と最大引張應力の關係
Fig. 15 The Relation between Preheating
Temperature and Maximum Tensile Stresses.

時間との關係を種々の場合について計算する。

先づロール豫熱 $150 \, ^{\circ}$ C の場合についてロール熱上げ速度緩急の影響をしらべる。第 $6 \, ^{\circ}$ 圖 A , B , C 三曲線に示す加熱速度で熱上げを行つた場合ロール中心部に發生する引張應力を第 $14 \, ^{\circ}$ 圖に示す。圖から明らかな如く急激な加熱はかなり大きな熱應力を發生せしめる事を知り得る。

次に豫熱溫度の高低により熱上げ中に發生する應力を 比較する。豫熱溫度 250, 150, 20 °C の三つの場合につ き其の加熱速度を第6 圖 D, A, E 三曲線に示し、ロー ル中心部に發生する熱應力を第15 圖に示す。豫熱溫度 が高い程高應力を發生する期間が短く、且つ 250 °C 以 上の豫熱に依り最高應力値をかなり減少せしめ得る。

[V] 結 論

薄鐵板壓延用チルドロール中にはかなり大きな熱應力を發生しており、計算によつて其の値を求めた。先づ高温度にあるロールを作業休止により放冷せしむれば30分後に 12~18 kg/mm² の引張應力をロール表面に發生し冷硬部抗張力の約 50~80% をしめ、壓延による曲げが同時に作用すれば非常に折損し易い狀態にある。此の應力を出來るだけ小ならしむる為には作業休止を避ける事ロール表面温度の急變を行わない事、ロール温度をあまり高温度にしない事が大切である。次にロール熱上げ時には熱上げ速度の緩急に依つてロール中心部に發生する

引張應力はかなり異るけれども 10 kg/mm² 以上に達する場合もあり、鼠銑抗張力の50~100%をしめる事がある。若しロール中心部に鑄造應力として引張力が存在すれば、此の二つの應力のみで折損する事も考えられ、壓延作業に依る荷重まで加われば容易に折損する事があり得る筈である。此の對策としては壓延作業に際してロール豫熱は出來るだけ高溫度に行い、急加熱を避ける事が大切である。

又ロールの材質的にも此等の應力を減少せしめる方法が考えられ、此の觀點から若松工場に於いては種々材料の研究を進め他社に優るロールの製作に邁進しており、其の成果を収めついある。壓延作業に際しても以上の諸點に尙一層注意を拂う事によつてロール折損率はかなり減少せしめ得ると信ずる。

最後に本研究の遂行にあたり直接御指導を賜つた若松 工場長宮下博士並びにロール折損に關する種々のデータ ーを賜つた多くの壓延工場關係者に對し深甚の謝意を表 するものである。

參 考 文 獻

- (1) "ロール内の温度分布並びに其の熱應力に就いて"内藤逸策,機械學會誌,第35卷,第179號
- (2) "Ubea die Wissenschaftlichen Grundlage der Herstellung fon Hartgutwazen." By Emil Schüz. Stahl und Isen 1922~10, 11, 12.

(3) "熱傳導論"川下研介著,河出書房出版應用數學第 21 卷。

(4) "材料力學" 小野鑑正著, 丸善株式會社出版.



——編集後記——

○先般十數年來の暴風雪が東京を中心に訪れたが、編集室の窓から眺める室の色はすつかり春めき、街頭には早くも春着を飾る人達を見受けられる。

○本誌も新年特大號が編集方針の變更から、配本が遅れ大變御迷惑をかけたが、お蔭で評判もよく、昨年度の『最近に於ける日立技術の成果』に劣らぬヒットとなった。

○第2號に續き、ことに第3號をお贈りして、漸く配本期日を順調に戻すことが出來たが、矢繼早やに第5號には『振動研究』特集號を刊行する豫定で、編集部は張切つている。

○本號の卷頭を飾る『刷子の諸特性を考慮した整流理論』は2篇に分載する一木氏得意の研究論文、以下5篇すべて獨自の論文揃い、若松工場、鑢戶工場から久し振りに論文を頂いたのを併載して執筆陣に更らにニューフェイスを加え得たのを喜びたい。 (寺 澤 生)

第33卷 日 立 評 論 第3號

禁無斷 昭和26年3月20日印刷 昭和26年3月25日發行

誌	////			數	定	價	送	料
	1	カ	月	分	¥	3 0		¥ 6
	6	カ	月	分	¥	200	不	要
代	1	カ	年	分	¥	4 0 0	不	要
編集	集兼贫	遂行	人		長	長谷 川	俊	雄
Ell	刷		人		礼	: 崎		實
Eh	刷		所		大東印刷株式會社			

發行所 日立評論社

堂